

Planificarea mișcării cu garanții de conectivitate și acoperire
curs 7 - opțional SPER

Florin Stoican

29 martie 2022

- 1 Motivație
- 2 Caracterizări ale regiunilor “în umbră”
- 3 Reprezentări cu variabile întregi/mixte
- 4 Problema de acoperire
- 5 Problema de comunicație
- 6 Studiu de caz: o problemă MPC cu garanții “corner cutting”
- 7 Concluzii

- 1 Motivație
- 2 Caracterizări ale regiunilor “în umbră”
- 3 Reprezentări cu variabile întregi/mixte
- 4 Problema de acoperire
- 5 Problema de comunicație
- 6 Studiu de caz: o problemă MPC cu garanții “corner cutting”
- 7 Concluzii

Motivație

Planificarea mișcării pentru o echipă de agenți, într-un mediu multi-obstacol este dificilă:

- pentru a asigura comunicarea în interiorul echipei este nevoie de linii neîntrerupte între perechi de agenți (“LOS – line of sight”)
- pentru a acoperi o regiune în mod complet, este necesară găsirea unor poziții de vizualizare (“art gallery problem”)
- condiții de evitare a coliziunii la momente predefinite de timp nu garantează comportamentul de-a lungul întregului orizont de timp (“corner cutting problem”).

Dificultățile provin din:

- geometric, regiunea de vizibilitate poate să fie ne-conectată (formată din sub-regiuni disjuncte) și neconvexă
- se ajunge la o problemă combinatorică, a cărei complexitate crește rapid

Exemplu – “corner cutting problem”

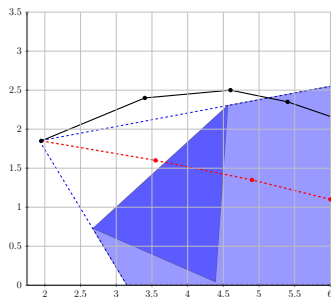
Constrângerile de evitare sunt de obicei impuse la momente discrete de timp fără a ține cont de comportamentul continuu al dinamicii.

Rezultatele curente^{1, 2, 3} sunt adesea

- conservative în descriere
- nu tratează eficient cazul multi-obstacol

Ideea de bază:

- poziția viitoare trebuie să **nu** stea în *umbra* obstacolelor
- se pot considera reprezentări exacte și aproximări ale acestora



¹A. Richards și O. Turnbull. „Inter-sample avoidance in trajectory optimizers using mixed-integer linear programming”. În: *Int. J. Robust Nonlinear Control* 25 (2015), pag. 521–526.

²M. H. Maia și R. K. H. Galvão. „On the use of mixed-integer linear programming for predictive control with avoidance constraints”. În: *Int. J. Robust Nonlinear Control* 19 (2009), pag. 822–828.

³R. Deits și R. Tedrake. „Efficient mixed-integer planning for UAVs in cluttered environments”. În: *Proc. of IEEE Int. Conf. on Robotics and Automation*. 2015.

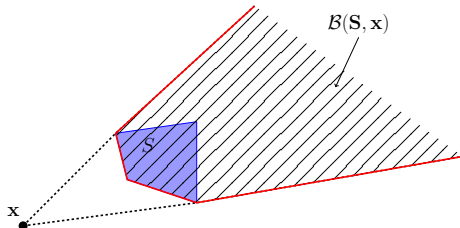
- 1 Motivație
- 2 Caracterizări ale regiunilor “în umbră”
 - Regiune “în umbră”
 - Detalii constructive
- 3 Reprezentări cu variabile întregi/mixte
- 4 Problema de acoperire
- 5 Problema de comunicație
- 6 Studiu de caz: o problemă MPC cu garanții “corner cutting”
- 7 Concluzii

Descrierea regiunii “în umbră”

Putem defini o regiune în umbră $\mathcal{B}(S, x)$ ca o colecție de puncte din \mathbb{R}^n ce sunt “în umbră/ascunse” din punctul de vedere al x :

$$\mathcal{B}(S, x) = \{y : [x, y] \cap S \neq \emptyset\}$$

- S denotă obstacolul
- x denotă agentul/senzorul



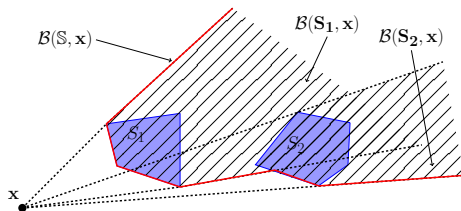
Dacă segmentul $[x, y]$ intersectează S atunci punctul y este “ascuns” de către obstacolul S și prn urmare nu este “vizibil” dinspre x .

Descrierea regiunii “în umbră”

Putem defini o regiune în umbră $\mathcal{B}(\mathbb{S}, x)$ ca o colecție de puncte din \mathbb{R}^n ce sunt “în umbră/ascunse” din punctul de vedere al x :

$$\mathcal{B}(\mathbb{S}, x) = \{y \in \mathbb{R}^n : [x, y] \cap \mathbb{S} \neq \emptyset\} = \bigcup_{l=1}^{N_o} \mathcal{B}(S_l, x)$$

- $\mathbb{S} \triangleq \bigcup_{l=1}^{N_o} S_l$ denotă colecția de obstacole
- x denotă agentul/senzorul



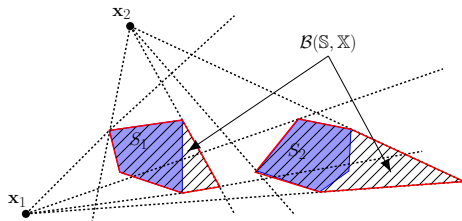
Dacă segmentul $[x, y]$ intersectează \mathbb{S} atunci punctul y este “ascuns” de către obstacolul $S \in \mathbb{S}$ și prin urmare nu este “vizibil” dinspre x .

Descrierea regiunii “în umbră”

Putem defini o regiune în umbră $\mathcal{B}(\mathbb{S}, \mathbb{X})$ ca o colecție de puncte din \mathbb{R}^n ce sunt “în umbră/ascunse” din punctul de vedere al \mathbb{X} :

$$\begin{aligned}\mathcal{B}(\mathbb{S}, \mathbb{X}) &= \bigcap_{k=1}^{N_a} \mathcal{B}(\mathbb{S}, x_k) = \bigcap_{k=1}^{N_a} \left[\left(\bigcup_{l=1}^{N_o} \mathcal{B}(S_l, x_k) \right) \right] \\ &= \bigcap_{k=1}^{N_a} \left(\bigcup_{l=1}^{N_o} \mathcal{B}(S_l, x_k) \right)\end{aligned}$$

- $\mathbb{S} \triangleq \bigcup_{l=1}^{N_o} S_l$ denotă colecția de obstacole
- $\mathbb{X} \triangleq \{x_1, \dots, x_{N_a}\}$ denotă colecția de agenți/senzori



Dacă segmentul $[x, y]$ intersectează S atunci punctul y este “ascuns” de către obstacolul $S \in \mathbb{S}$ și prn urmare nu este “vizibil” dinspre $x \in \mathbb{X}$.

Câteva remarci

Chiar și în cazurile simple, zona „în umbră” rezultată are o formă complexă:

- forma se schimbă la fiecare variație a poziției
- posibil o uniune neconectată de regiuni

Idee:

- să descriem zona “în umbră” ca o uniune de regiuni convexe parametrizate după poziția agenților
- agentul/agenții trebuie să fie în afara acestei zone la următoarea iterație \Rightarrow scriem acest lucru ca o constrângere suplimentară care implică poziția curentă – x și următoarea poziție – x^+ în ceea ce privește obstacol(ele) – $S(S)$

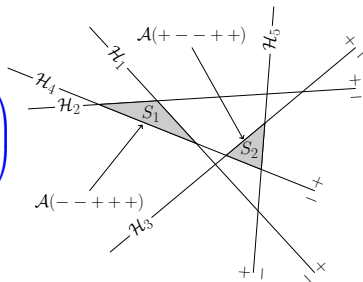
Implementare practică:

- folosim mulțimi poliedrale pentru a descrie obstacolele și *aranjamente de hiperplane* pentru a caracteriza zona „în umbră”
- folosim *programarea cu variabile întregi* pentru a scrie problema într-o formă rezonabilă

Construcția regiunii “în umbră” – I

Fie $S = \mathcal{A}(\sigma^\bullet)$ unde $\sigma^\bullet \in \Sigma^\bullet$, atunci putem defini mulțimea auxiliară

$$\mathcal{E}(\sigma^\bullet, x) = \mathcal{A}(\sigma^\bullet) \cap \left(\bigcup_{x \notin \mathcal{H}_i^{\sigma^\bullet(i)}} \mathcal{H}_i \right) \cap \left(\bigcup_{x \in \mathcal{H}_i^{\sigma^\bullet(i)}} \mathcal{H}_i \right)$$



ce caracterizează punctele extreme ale lui S , tangente dpdv al x .

Pentru orice $x \in \mathcal{A}(\sigma^\circ)$ avem că $\mathcal{E}(\sigma^\bullet, x)$ rămâne fixată:

$$\mathcal{E}(\sigma^\bullet, \sigma^\circ) = \mathcal{A}(\sigma^\bullet) \cap \left(\bigcup_{\sigma^\circ(i) \neq \sigma^\bullet(i)} \mathcal{H}_i \right) \cap \left(\bigcup_{\sigma^\circ(i) = \sigma^\bullet(i)} \mathcal{H}_i \right)$$

$\mathcal{E}(\sigma^\bullet, x)$ e parametrizat după $\sigma^\circ \in \Sigma^\circ \Rightarrow$ și rămâne constant față de σ° !

Construcția regiunii “în umbră” – I

Fie $S = \mathcal{A}(\sigma^\bullet)$ unde $\sigma^\bullet \in \Sigma^\bullet$, atunci putem defini mulțimea auxiliară

$$\mathcal{E}(\sigma^\bullet, x) = \mathcal{A}(\sigma^\bullet) \cap \left(\bigcup_{x \notin \mathcal{H}_i^{\sigma^\bullet(i)}} \mathcal{H}_i \right) \cap \left(\bigcup_{x \in \mathcal{H}_i^{\sigma^\bullet(i)}} \mathcal{H}_i \right)$$

ce caracterizează punctele extreme ale lui S , tangente dpdv al x .

Pentru orice $x \in \mathcal{A}(\sigma^\circ)$ avem că $\mathcal{E}(\sigma^\bullet, x)$ rămâne fixată:

$$\mathcal{E}(\sigma^\bullet, \sigma^\circ) = \mathcal{A}(\sigma^\bullet) \cap \left(\bigcup_{\sigma^\circ(i) \neq \sigma^\bullet(i)} \mathcal{H}_i \right) \cap \left(\bigcup_{\sigma^\circ(i) = \sigma^\bullet(i)} \mathcal{H}_i \right)$$

$\mathcal{E}(\sigma^\bullet, x)$ e parametrizat după $\sigma^\circ \in \Sigma^\circ \Rightarrow$ și rămâne constant față de σ° !

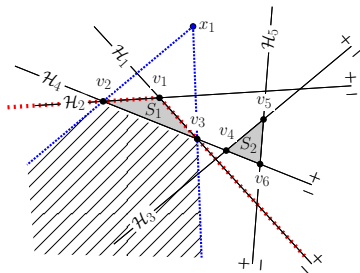
Construcția regiunii “în umbră” – II

Aceasta permite să redefinim $\mathcal{B}(\sigma^\bullet, x)$ ca:

$$\mathcal{B}(\sigma^\bullet, x) = \text{Cone}(x, \mathcal{E}(\sigma^\bullet, x)) \cap \bigcap_{\sigma^\circ(i) \neq \sigma^\bullet(i)} H_i^{\sigma^\bullet(i)}$$

$\mathcal{B}(\sigma^\bullet, x)$ are o structură constantă pentru orice $x \in \mathcal{A}(\sigma^\circ)$:

- pornind de la colecția \mathbb{S} de obstacole, se creează un aranjament de hiperplane $\mathcal{A}(\mathbb{H})$
- calculăm și stocăm toate mulțimile $\mathcal{E}(\sigma^\bullet, \sigma^\circ)$ for $\sigma^\bullet \in \Sigma^\bullet$ și $\sigma^\circ \in \Sigma^\circ$
- pentru x curent identificăm σ° așa încât $x \in \mathcal{A}(\sigma^\circ)$ și construim $\mathcal{B}(\sigma^\bullet, x)$, $\forall \sigma^\bullet \in \Sigma^\bullet$



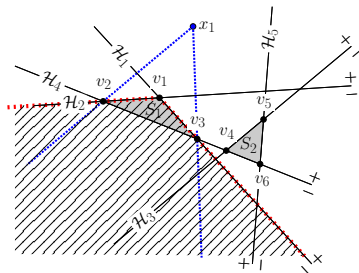
Construcția regiunii “în umbră” – II

Aceasta permite să redefinim $\mathcal{B}(\sigma^\bullet, x)$ ca:

$$\mathcal{B}(\sigma^\bullet, x) = \text{Cone}(x, \mathcal{E}(\sigma^\bullet, x)) \cap \bigcap_{\sigma^\circ(i) \neq \sigma^\bullet(i)} H_i^{\sigma^\bullet(i)}$$

$\mathcal{B}(\sigma^\bullet, x)$ are o structură constantă pentru orice $x \in \mathcal{A}(\sigma^\circ)$:

- pornind de la colecția \mathbb{S} de obstacole, se creează un aranjament de hiperplane $\mathcal{A}(\mathbb{H})$
- calculăm și stocăm toate mulțimile $\mathcal{E}(\sigma^\bullet, \sigma^\circ)$ for $\sigma^\bullet \in \Sigma^\bullet$ și $\sigma^\circ \in \Sigma^\circ$
- pentru x curent identificăm σ° așa încât $x \in \mathcal{A}(\sigma^\circ)$ și construim $\mathcal{B}(\sigma^\bullet, x)$, $\forall \sigma^\bullet \in \Sigma^\bullet$



Putem folosi o aproximare pentru a caracteriza regiunea în umbră:

$$\mathcal{B}(\sigma^\bullet, \sigma^\circ) = \bigcap_{\sigma^\circ(i) \neq \sigma^\bullet(i)} H_i^{\sigma^\bullet(i)}$$

Construcția regiunii “în umbră” – II

Acesta permite să redefinim $\mathcal{B}(\sigma^\bullet, x)$ ca:

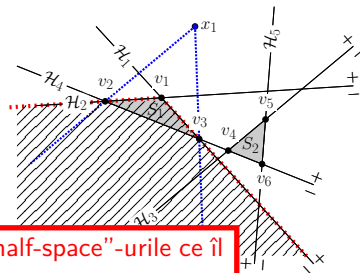
$$\mathcal{B}(\sigma^\bullet, x) = \text{Cone}(x, \mathcal{E}(\sigma^\bullet, x)) \cap \bigcap_{\sigma^\circ(i) \neq \sigma^\bullet(i)} H_i^{\sigma^\bullet(i)}$$

$\mathcal{B}(\sigma^\bullet, x)$ are $\mathcal{B}(\sigma^\bullet, x)$ este definit de conul cu vârful în poziția curentă și “half-space”-urile ce îl separă pe agent de obstacol

- pornind de la colecția \mathbb{S} de obstacole, se creează un aranjament de hiperplane $\mathcal{A}(\mathbb{H})$
- calculăm și stocăm toate mulțimile $\mathcal{E}(\sigma^\bullet, \sigma^\circ)$ for $\sigma^\bullet \in \Sigma^\bullet$ și $\sigma^\circ \in \Sigma^\circ$
- pentru x curent identificăm σ° așa încât $x \in \mathcal{A}(\sigma^\bullet, \sigma^\circ)$

$\mathcal{B}(\sigma^\bullet, \sigma^\circ)$ este definit doar de către “half-space”-urile ce îl separă pe agent de obstacol

Putem folosi

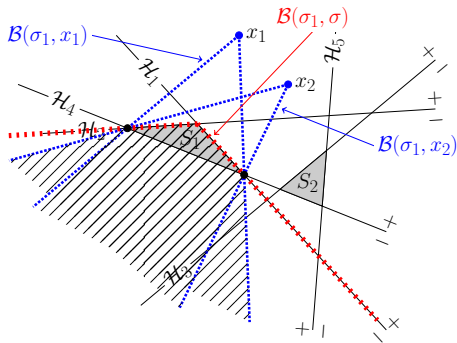


$$\mathcal{B}(\sigma^\bullet, \sigma^\circ) = \bigcap_{\sigma^\circ(i) \neq \sigma^\bullet(i)} H_i^{\sigma^\bullet(i)}$$

Exemplu ilustrativ

Considerăm o uniune de două obstacole în \mathbb{R}^2 , $\mathbb{S} = S_1 \cup S_2$ definite de 5 hiperplane.

- $S_1 = \mathcal{A}(- - + + +)$
- $S_2 = \mathcal{A}(+ - - + +)$
- $\mathcal{E}(\sigma_1, x_1) = \{\mathcal{H}_2 \cap \mathcal{H}_4, \mathcal{H}_1 \cap \mathcal{H}_4\}$
- $\mathcal{B}(\sigma_1, x_1) = \text{Cone}(x_1, S_1) \cap \mathcal{H}_1^- \cap \mathcal{H}_2^-$
- $\mathcal{B}(\sigma_1, \sigma) = \mathcal{H}_1^- \cap \mathcal{H}_2^-$
- $\mathcal{B}(\sigma_1, \sigma)$ conține atât $\mathcal{B}(\sigma_1, x_1)$ cât și $\mathcal{B}(\sigma_1, x_2)$



- 1 Motivație
- 2 Caracterizări ale regiunilor “în umbră”
- 3 Reprezentări cu variabile întregi/mixte
 - Preliminarii
 - Cazul exact
 - Cazul simplificat (supra-aproximare)
- 4 Problema de acoperire
- 5 Problema de comunicație
- 6 Studiu de caz: o problemă MPC cu garanții “corner cutting”
- 7 Concluzii

MI pentru aranjamente de hiperplane

Ca prim pas, definim $\delta : \{-, +\}^N \times \{-, +\}^N \rightarrow \{0\} \cup [1, \infty)$:

$$\delta(\sigma_1, \sigma_2) = \sum_i \delta_i(\sigma_1, \sigma_2),$$

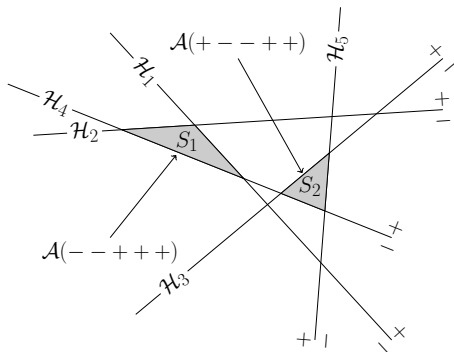
$$\text{unde } \delta_i(\sigma_1, \sigma_2) = \begin{cases} 1 - \sigma_2(i), & \sigma_1(i) = '+' \\ \sigma_2(i), & \sigma_1(i) = '-' \end{cases}.$$

Putem acum rescrie constrângerile ca:

$$h_i x \leq k_i + M(1 - \sigma_i)$$

$$-h_i x \leq -k_i + M\sigma_i$$

$$\delta(\sigma^\bullet, \sigma) > 0, \forall \sigma^\bullet \in \Sigma^\bullet$$



MI pentru aranjamente de hiperplane

Ca prim pas, definim $\delta : \{-, +\}^N \times \{-, +\}^N \rightarrow \{0\} \cup [1, \infty)$:

$$\delta(\sigma_1, \sigma_2) = \sum_i \delta_i(\sigma_1, \sigma_2),$$

$$\text{unde } \delta_i(\sigma_1, \sigma_2) = \begin{cases} 1 - \sigma_2(i), & \sigma_1(i) = '+' \\ \sigma_2(i), & \sigma_1(i) = '-' \end{cases}.$$

$\delta_i(\sigma_1, \sigma_2)$ descrie $|\sigma_1(i) - \sigma_2(i)|$ și

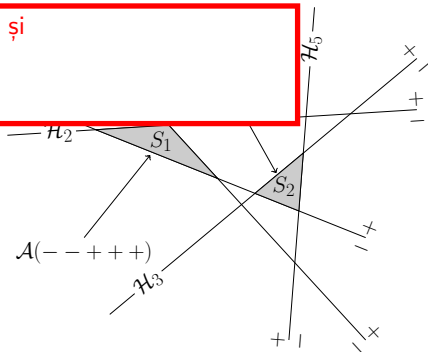
$$\delta(\sigma_1, \sigma_2) = \sum_i |\sigma_1(i) - \sigma_2(i)|$$

Putem acum

$$h_i x \leq k_i + M(1 - \sigma_i)$$

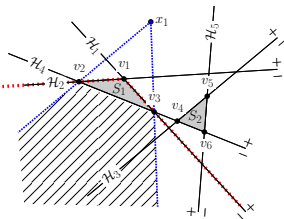
$$-h_i x \leq -k_i + M\sigma_i$$

$$\delta(\sigma^\bullet, \sigma) > 0, \forall \sigma^\bullet \in \Sigma^\bullet$$



Reprezentare MI – cazul exact (incluziune)

Fie un punct $x^+ \in \mathcal{B}(\sigma^\bullet, x)$ unde $\{v_i\}$ denotă punctele extreme ale $\mathcal{A}(\sigma^\bullet)$, atunci:



- $x^+ \in \text{Cone}(x, \mathcal{E}(\sigma^\bullet, x))$

- $x^+ \in \bigcap_{\sigma^\circ(i) \neq \sigma^\bullet(i)} H_i^{\sigma^\bullet(i)}$

$$x^+ = x + \sum_j \beta_j v_j,$$

$$\sum_{j \text{ s.t. } v_j \notin \mathcal{E}(\sigma^\bullet, \sigma^\circ)} \beta_j \leq M \delta(\sigma^\circ, \sigma), \quad \forall \sigma^\circ \in \Sigma^\circ,$$

$$\beta_j \geq 0,$$

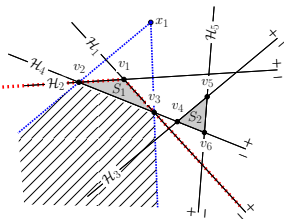
$$\sigma^\bullet(i) h_i x^+ \leq \sigma^\bullet(i) k_i + M(1 - \delta_i(\sigma^\bullet, \sigma)),$$

Implementarea MI este standard⁴.

⁴ J. Vielma și G. Nemhauser. „Modeling disjunctive constraints with a logarithmic number of binary variables and constraints”. În: *Mathematical Programming* 128.1 (2011), pag. 49–72.

Reprezentare MI – cazul exact (incluziune)

Fie un punct $x^+ \in \mathcal{B}(\sigma^\bullet, x)$ unde $\{v_i\}$ denotă punctele extreme ale $\mathcal{A}(\sigma^\bullet)$, atunci:



$$x^+ = x + \sum_j \beta_j v_j,$$

$$\sum_{j \text{ s.t. } v_j \notin \mathcal{E}(\sigma^\bullet, \sigma^\circ)} \beta_j \leq M\delta(\sigma^\circ, \sigma), \quad \forall \sigma^\circ \in \Sigma^\circ,$$

$$\beta_j \geq 0,$$

- $x^+ \in \text{Cone}(x, \mathcal{E}(\sigma^\bullet, x))$

- $x^+ \in \bigcap_{\sigma^\circ(i) \neq \sigma^\bullet(i)} H_i^{\sigma^\bullet(i)}$

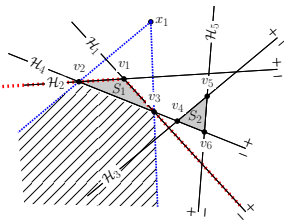
$$\sigma^\bullet(i) h_i x^+ \leq \sigma^\bullet(i) k_i + M(1 - \delta_i(\sigma^\bullet, \sigma)),$$

Implementarea MI este standard⁴.

⁴ J. Vielma și G. Nemhauser. „Modeling disjunctive constraints with a logarithmic number of binary variables and constraints”. În: *Mathematical Programming* 128.1 (2011), pag. 49–72.

Reprezentare MI – cazul exact (excluziune)

Fie un punct $x^+ \notin \mathcal{B}(\sigma^\bullet, x)$ unde $\{v_i\}$ denotă punctele extreme ale $\mathcal{A}(\sigma^\bullet)$, atunci:



- $x^+ \notin \text{Cone}(x, \mathcal{E}(\sigma^\bullet, x))$ OR

- $x^+ \notin \bigcap_{\sigma^\circ(i) \neq \sigma^\bullet(i)} H_i^{\sigma^\bullet(i)}$

$$M(1 - \alpha) \geq |x^+ - x - \sum_j \beta_j v_j|,$$

$$|\beta_j| \leq M\delta(\sigma^\circ, \sigma), \forall j \text{ s.t. } v_j \notin \mathcal{E}(\sigma^\bullet, \sigma^\circ),$$

$$\beta_j \leq M\gamma_j,$$

$$\gamma_j \leq \delta(\sigma^\circ, \sigma), \forall j \text{ s.t. } v_j \notin \mathcal{E}(\sigma^\bullet, \sigma^\circ),$$

$$\sum_j \gamma_j > 0,$$

$$-\sigma^\bullet(i)h_ix^+ \leq -\sigma^\bullet(i)k_i + M[\delta_i(\sigma^\bullet, \sigma) + \alpha + \rho_i],$$

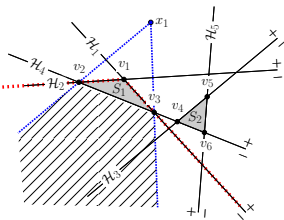
$$\sum_i \rho_i < N$$

Implementarea MI este standard⁵.

⁵ J. Vielma și G. Nemhauser. „Modeling disjunctive constraints with a logarithmic number of binary variables and constraints”. În: *Mathematical Programming* 128.1 (2011), pag. 49–72.

Reprezentare MI – cazul exact (excluziune)

Fie un punct $x^+ \notin \mathcal{B}(\sigma^\bullet, x)$ unde $\{v_i\}$ denotă punctele extreme ale $\mathcal{A}(\sigma^\bullet)$, atunci:



$$M(1 - \alpha) \geq |x^+ - x - \sum_j \beta_j v_j|,$$

$$|\beta_j| \leq M\delta(\sigma^\circ, \sigma), \forall j \text{ s.t. } v_j \notin \mathcal{E}(\sigma^\bullet, \sigma^\circ),$$

$$\beta_j \leq M\gamma_j,$$

$$\gamma_j \leq \delta(\sigma^\circ, \sigma), \forall j \text{ s.t. } v_j \notin \mathcal{E}(\sigma^\bullet, \sigma^\circ),$$

$$\sum_j \gamma_j > 0,$$

- $x^+ \notin \text{Cone}(x, \mathcal{E}(\sigma^\bullet, x))$ OR

- $x^+ \notin \bigcap_{\sigma^\circ(i) \neq \sigma^\bullet(i)} H_i^{\sigma^\bullet(i)}$

$$-\sigma^\bullet(i)h_ix^+ \leq -\sigma^\bullet(i)k_i + M[\delta_i(\sigma^\bullet, \sigma) + \alpha + \rho_i],$$

$$\sum_i \rho_i < N$$

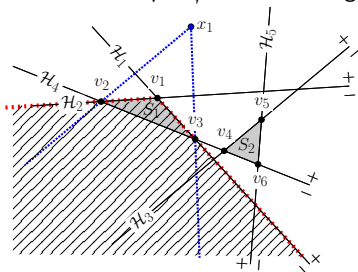
Implementarea MI este standard⁵.

⁵ J. Vielma și G. Nemhauser. „Modeling disjunctive constraints with a logarithmic number of binary variables and constraints”. În: *Mathematical Programming* 128.1 (2011), pag. 49–72.

Cazul simplificat – I

Formulările exacte sunt complexe datorită $\text{Cone}(\sigma^\bullet, x) \Rightarrow$ să-l ignorăm!

Idee: σ^+ caracterizează regiunea umbră/vizibilă și este constrâns de poziția curentă (σ) și de obstacol (σ^\bullet) \Rightarrow constrângem σ^+ a.î. să apară doar "half-space"-urile care separă obstacolul de poziția curentă a agentului.



- dacă $\delta_i(\sigma^\bullet, \sigma) = 0$, $\sigma^+(i)$ nu e constrâns
- dacă $\delta_i(\sigma^\bullet, \sigma) = 1$, $\delta_i(\sigma^\bullet, \sigma^+) = 0$

❶ pentru $x^+ \in \mathcal{B}(\sigma^\bullet, \sigma)$:

$$\sum_i \delta_i(\sigma^\bullet, \sigma) \cdot \delta_i(\sigma^\bullet, \sigma^+) = 0,$$

❷ pentru $x^+ \notin \mathcal{B}(\sigma^\bullet, \sigma)$:

$$\sum_i \delta_i(\sigma^\bullet, \sigma) \cdot \delta_i(\sigma^\bullet, \sigma^+) > 0,$$

Cazul simplificat – II

Constrângerile sunt liniare numai dacă σ este cunoscut \Rightarrow enumera fiecare celulă fezabilă σ° și oferă o descriere pe bucăți !

Să presupunem că obstacolul este $\mathcal{A}(\sigma^\bullet)$. Atunci poziția viitoare $x^+ \in \mathcal{A}(\sigma^+)$ este constrânsă după cum urmează:

❶ pentru $x^+ \in \mathcal{B}(\sigma^\bullet, \sigma)$:

$$\sum_i \delta_i(\sigma^\bullet, \sigma^\circ) \cdot \delta_i(\sigma^\bullet, \sigma^+) \leq N\delta(\sigma^\circ, \sigma), \forall \sigma^\circ \in \Sigma^\circ$$

❷ pentru $x^+ \notin \mathcal{B}(\sigma^\bullet, \sigma)$:

$$\sum_i \delta_i(\sigma^\bullet, \sigma^\circ) \cdot \delta_i(\sigma^\bullet, \sigma^+) > -N\delta(\sigma^\circ, \sigma), \forall \sigma^\circ \in \Sigma^\circ$$

- toate inegalitățile sunt relaxate, cu excepția celei pentru care $\sigma = \sigma^\circ$
- aceasta NU este o formulare “big-M” \Rightarrow fără probleme numerice

Să ne re-amintim că $\mathcal{B}(\sigma_1, x_1) = \text{Cone}(x_1, S_1) \cap \mathcal{H}_1^- \cap \mathcal{H}_2^-$ și $\mathcal{B}(\sigma_1, \sigma) = \mathcal{H}_1^- \cap \mathcal{H}_2^-$.

$$x^+ \in \mathcal{B}(\sigma_1, x_1)$$

• • • • •

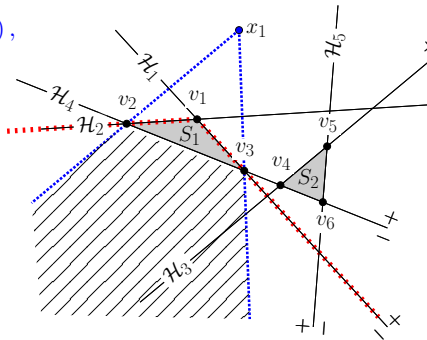
.....

$$-h_1 x^+ \leq -k_1 + M(1 - \sigma(1)),$$

$$-h_2x^+ \leq -k_2 + M(1 - \sigma(2)),$$

$$h_4 x^+ \leq k_4 + M\sigma(4),$$

$$h_5 x^+ \leq k_5 + M\sigma(5).$$



Exemplu ilustrativ

Avem că $x^+ \in \mathcal{B}(S_1 \cup S_2, \sigma) \Rightarrow x^+ \in \mathcal{B}(\sigma_1, \sigma) \cup \mathcal{B}(\sigma_2, \sigma)$ ceea ce înseamnă că

$$x^+ \in \mathcal{B}(S_1 \cup S_2, \sigma) \Leftrightarrow \begin{cases} \sigma^+(1) + \sigma^+(2) = 0 \\ \text{OR} \\ \sigma^+(2) + \sigma^+(3) = 0. \end{cases}$$

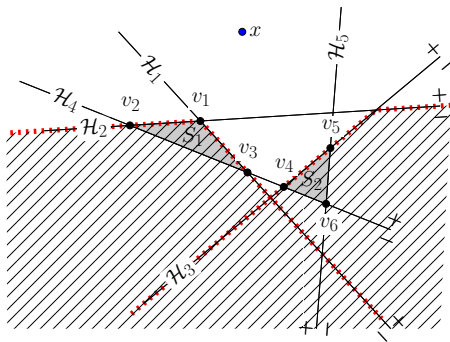
Atunci,

$$x^+ \notin \mathcal{B}(S_1 \cup S_2, \sigma) \Leftrightarrow \begin{cases} \sigma^+(1) + \sigma^+(2) > 0 \\ \text{AND} \\ \sigma^+(2) + \sigma^+(3) > 0. \end{cases}$$

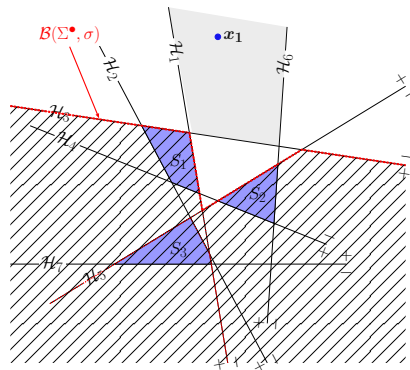
deci, poziția viitoare **nu poate să fie** în

- regiunea $\mathcal{H}_1^+ \cap \mathcal{H}_2^+$ ȘI
- regiunea $\mathcal{H}_2^+ \cap \mathcal{H}_3^+$

$$x^+ \notin \mathcal{B}(\sigma_1, \sigma) \cup \mathcal{B}(\sigma_2, \sigma)$$



Exemplu ilustrativ (mediu multi-obstacol)



Regiunea supra-aproximată “în umbră” $B(\Sigma^\bullet, \sigma)$ are reprezentarea mixtă:

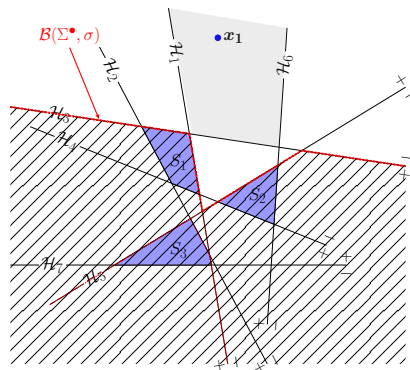
$$|1 - \sigma^+(1)| + |1 - \sigma^+(3)| \leq N(1 - \alpha^1),$$

$$|1 - \sigma^+(3)| + |\sigma^+(5)| \leq N(1 - \alpha^2),$$

$$|1 - \sigma^+(1)| + |1 - \sigma^+(2)| + |1 - \sigma^+(3)| + |1 - \sigma^+(4)| + |\sigma^+(5)| \leq N(1 - \alpha^3),$$

$$\alpha^1 + \alpha^2 + \alpha^3 \geq 1.$$

Exemplu ilustrativ (mediu multi-obstacol)



Regiunea supra-aproximată vizibilă $\overline{B(\Sigma^\bullet, \sigma)}$, are reprezentarea mixtă:

$$|1 - \sigma^+(1)| + |1 - \sigma^+(3)| > 0,$$

$$|1 - \sigma^+(3)| + |\sigma^+(5)| > 0,$$

$$|1 - \sigma^+(1)| + |1 - \sigma^+(2)| + |1 - \sigma^+(3)| + |1 - \sigma^+(4)| + |\sigma^+(5)| > 0.$$

- 1 Motivație
- 2 Caracterizări ale regiunilor “în umbră”
- 3 Reprezentări cu variabile întregi/mixte
- 4 Problema de acoperire
 - Problema de acoperire statică
 - Problema de acoperire dinamică
- 5 Problema de comunicație
- 6 Studiu de caz: o problemă MPC cu garanții “corner cutting”
- 7 Concluzii

Condiții suficiente

Cazul multi-obstacol, multi-agent

Pentru o colecție de obstacole \mathbb{S} și agenți \mathbb{P} , domeniul fezabil $\mathbb{R}^n \setminus \mathbb{S}$ este acoperit complet de agenți dacă:

- ❶ domeniul fezabil este descris de o uniune de regiuni convexe: $\mathbb{R}^n \setminus \mathbb{S} = \bigcup_k R_k$;
- ❷ pentru fiecare regiune R_k există cel puțin un agent p_l astfel încât $p_l \in R_k$.

- folosim regiunile rezultate din aranjamentul de hiperplane pentru a obține R_k
- formulăm condițiile de acoperire folosind variabilele binare din reprezentarea mixtă

Problema de acoperire statică

Scop: găsiți poziționarea optimă (în funcție de o funcție de cost dată) a unui grup de agenți astfel încât spațiul fezabil să fie complet acoperit.

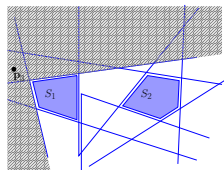
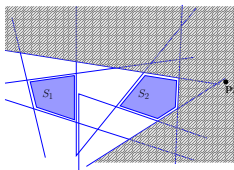
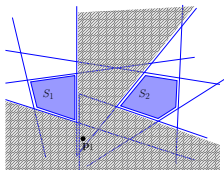
- N_a agenți și N_m regiuni
- în fiecare regiune, cel puțin 1 agent
- toți agenții trebuie să rămână în domeniul fezabil domain

$$\min_{p_1, \dots, p_{N_a}, \alpha_1^1, \dots, \alpha_1^{N_a}, \dots, \alpha_{N_m}^1, \dots, \alpha_{N_m}^{N_a}} \sum_{l=1}^{N_a} \|p_l\|_2$$

s. t.

$$\left. \begin{aligned} H_k p_l &\leq K_k + M \alpha_k^l, \quad \forall l = 1 \dots N_a, \\ \sum_{l=1}^{N_a} \alpha_k^l &\leq N_a - 1, \end{aligned} \right\} \forall k$$

$$\sum_{k=1}^{N_m} \alpha_k^l \leq N_m - 1, \forall l = 1, \dots, N_a$$



Problema de acoperire statică

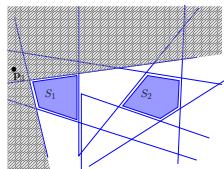
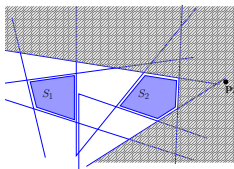
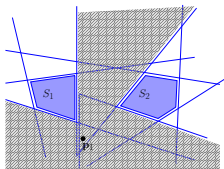
Scop: găsiți poziționarea optimă (în funcție de o funcție de cost dată) a unui grup de agenți astfel încât spațiul fezabil să fie complet acoperit.

- N_a agenți și N_m regiuni
- în fiecare regiune, cel puțin 1 agent
- toți agenții trebuie să rămână în domeniul fezabil domain

$$\min_{p_1, \dots, p_{N_a}, \alpha_1^1, \dots, \alpha_1^{N_a}, \dots, \alpha_{N_m}^1, \dots, \alpha_{N_m}^{N_a}} \sum_{l=1}^{N_a} \|p_l\|_2$$

s. t.

$$\left. \begin{aligned} H_k p_l &\leq K_k + M \alpha_k^l, \quad \forall l = 1 \dots N_a, \\ \sum_{l=1}^{N_a} \alpha_k^l &\leq N_a - 1, \\ \sum_{k=1}^{N_m} \alpha_k^l &\leq N_m - 1, \quad \forall l = 1, \dots, N_a \end{aligned} \right\} \forall k$$



Problema de acoperire statică

Scop: găsiți poziționarea optimă (în funcție de o funcție de cost dată) a unui grup de agenți astfel încât spațiul fezabil să fie complet acoperit.

$$\min_{p_1, \dots, p_{N_a}, \alpha_1^1, \dots, \alpha_1^{N_a}, \dots, \alpha_{N_m}^1, \dots, \alpha_{N_m}^{N_a}} \sum_{l=1}^{N_a} \|p_l\|_2$$

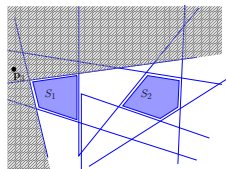
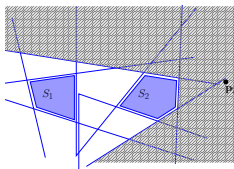
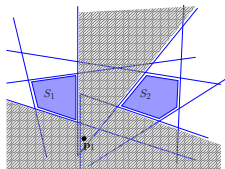
s. t.

$$H_k p_l \leq K_k + M \alpha_k^l, \quad \forall l = 1 \dots N_a, \quad \left. \vphantom{\sum_{l=1}^{N_a} \alpha_k^l} \right\} \forall k$$

$$\sum_{l=1}^{N_a} \alpha_k^l \leq N_a - \tau,$$

$$\sum_{k=1}^{N_m} \alpha_k^l \leq N_m - 1, \quad \forall l = 1, \dots, N_a$$

- N_a agenți și N_m regiuni
- în fiecare regiune, cel puțin τ agents
- toți agenții trebuie să rămână în domeniul fezabil domain



Problema de acoperire dinamică

Scop: găsiți traiectoria optimă (în funcție de o funcție de cost dată) a unui agent astfel încât spațiul fezabil să fie complet acoperit.

$$\min_{\substack{p(1), \dots, p(T), \\ \alpha_1^1, \dots, \alpha_1^T, \dots, \alpha_{N_m}^1, \dots, \alpha_{N_m}^T}} \sum_{t=1}^T (\|p(t)\|_Q + \|u(t)\|_R)$$

s.t.

$$p(t+1) = Ap(t) + Bu(t), \forall t = 0, \dots, T-1$$

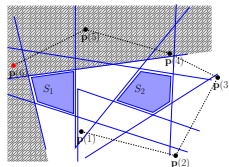
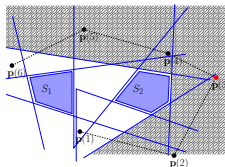
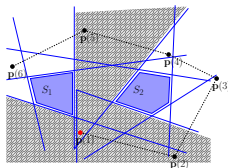
$$H_k p(t) \leq K_k + M \alpha_k^t, \forall t = 1 \dots T,$$

$$\sum_{t=1}^T \alpha_k^t \leq T-1,$$

$$\left. \vphantom{\sum_{t=1}^T \alpha_k^t \leq T-1} \right\} \forall k$$

$$\sum_{k=1}^{N_m} \alpha_k^t \leq N_m - 1, \forall t = 1, \dots, T.$$

- T instanțe de timp și N_m regiuni
- agentul trebuie să treacă prin fiecare regiune măcar o dată
- agentul trebuie să rămână în domeniul fezabil domain



Problema de acoperire dinamică

Scop: găsiți traiectoria optimă (în funcție de o funcție de cost dată) a unui agent astfel încât spațiul fezabil să fie complet acoperit.

$$\min_{\substack{p(1), \dots, p(T), \\ \alpha_1^1, \dots, \alpha_1^T, \dots, \alpha_{N_m}^1, \dots, \alpha_{N_m}^T}} \sum_{t=1}^T (\|p(t)\|_Q + \|u(t)\|_R)$$

s.t.

$$p(t+1) = Ap(t) + Bu(t), \forall t = 0, \dots, T-1$$

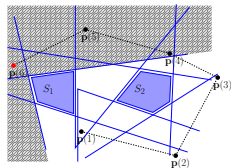
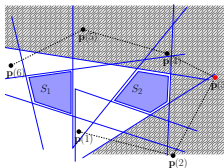
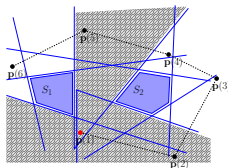
$$H_k p(t) \leq K_k + M \alpha_k^t, \forall t = 1 \dots T,$$

$$\sum_{t=1}^T \alpha_k^t \leq T-1,$$

$$\left. \vphantom{\sum_{t=1}^T \alpha_k^t} \right\} \forall k$$

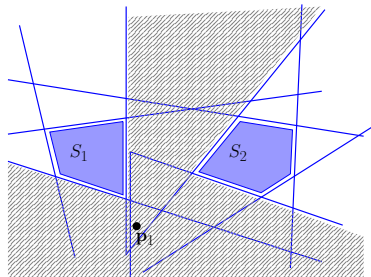
$$\sum_{k=1}^{N_m} \alpha_k^t \leq N_m - 1, \forall t = 1, \dots, T.$$

- T instanțe de timp și N_m regiuni
- agentul trebuie să treacă prin fiecare regiune măcar o dată
- agentul trebuie să rămână în domeniul fezabil domain

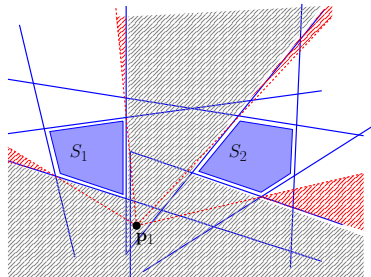


Caveat emptor

- La rezolvarea problemei de optimizare nu știm a priori dacă numărul de agenți este suficient sau dacă timpul T este suficient de mare



- Condițiile suficiente pot să fie conservative



- 1 Motivație
- 2 Caracterizări ale regiunilor “în umbră”
- 3 Reprezentări cu variabile întregi/mixte
- 4 Problema de acoperire
- 5 Problema de comunicație**
 - Motivație
 - Conectivitate în sensul LOS
- 6 Studiu de caz: o problemă MPC cu garanții “corner cutting”
- 7 Concluzii

Problema comunicației într-un mediu complex

Noțiunile de vizibilitate și de asigurare a comunicației într-un mediu cu obstacole sunt strâns legate. Sunt posibile mai multe variații:

- graf de comunicație staționar / dinamic (al doilea caz apare în situațiile în care agenții/obstacolele sunt mobile);
- conectivitate robustă (în sensul de redundanță, un agent este conectat cu mai mulți agenți);
- conectivitate rezilientă (în sensul că există capacitatea în sistem de a recupera conectivitatea).

Există multiple modalități (sub-optimale, heuristice) pentru a garanta comunicația într-o echipă de agenți ce se deplasează într-un mediu cu obstacole:

- penalizarea distanței dintre 2 agenți dacă aceasta a crescut prea mult;
- menținerea unei linii de comunicație (LOS – line of sight).

Conectivitate în sensul LOS

Pentru metodele LOS, implementarea se face prin *programare cu variabile mixte* ceea ce echivalent cu a impune condiții de conectivitate asupra unui graf. **Ideea:**

- considerăm o echipă de agenți $\mathcal{V} = \{v_1, \dots, v_N\}$;
- enumerăm o colecție de legături, variabilă în timp, între perechi de agenți $\epsilon(k) = \{(v_i, v_j) : v_i, v_j \in \mathcal{V}\}$;
- construim graful variabil în timp $\mathcal{G}(k) = (\mathcal{V}, \epsilon(k))$;
- echipa este conectată la pasul $k \Leftrightarrow$ graful $\mathcal{G}(k)$ este conectat.

Doi agenți, cu pozițiile p_i, p_j , vor fi conectați (se află în LOS) dpdv al unui obstacol \mathcal{O} dacă este respectată relația

$$\{p_i(k) \cdot \alpha + p_j(k) \cdot (1 - \alpha), \forall \alpha \in [0, 1]\} \cap \mathcal{O} = \emptyset.$$

Echivalent spus, dacă segmentul definit de pozițiile celor doi agenți intersectează obstacolul \mathcal{O} nu există o linie de comunicație între cei doi.

O astfel de relație este greu de integrat în formulările standard de planificare a mișcării (mai ales în cele care necesită rezolvarea unei probleme de optimizare la fiecare pas).

Implementare MI I

Soluția propusă este⁶:

$$F_\ell^\top p_i(k) \leq \theta_\ell + M(1 - z_{i\ell}(k)), \forall i, \ell \quad (1a)$$

$$\bar{z}_{ij}(k) \geq z_{i\ell}(k) + z_{j\ell}(k) - 1, \forall i, j, \ell \quad (1b)$$

$$d_i(k) = \sum_{j \neq i} \bar{z}_{ij}(k), \forall i \quad (1c)$$

$$d_i(k) + d_j(k) \geq (N - 1) - N\bar{z}_{ij}(k), \forall 1 \leq j < i \quad (1d)$$

Forțând doi agenți să stea în aceeași regiune convexă garantăm că există o linie de comunicație între ei. Mai precis:

- relația (1a) controlează prin intermediul variabilei binare $z_{i\ell}(k)$ dacă agentul i se află în interiorul regiunii $\mathcal{A}_\ell = \{x : F_\ell^\top x \leq \theta_\ell\}$:

$$p_i(k) \in \mathcal{A}_\ell \Leftrightarrow z_{i\ell}(k) = 1;$$

- relațiile (1b) leagă variabilele binare $z_{i\ell}, z_{j\ell}$ de variabila binară \bar{z}_{ij} ce arată că 2 agenți sunt sau nu adiacenți (se află în aceeași regiune);

Implementare MI II

- relația (1c) stochează în variabila $d_i(k)$ gradul corespunzător agentului i (câte muchii din graf se termină/încep în nodul i);
- relația (1d) impune o condiție pe gradele fiecărei perechi de noduri distincte din graf, în așa fel încât să fie garantată conectivitatea echipei ("1-connectivity").

Mai precis: dacă suma gradelor pentru oricare două noduri ce nu sunt adiacente este $\geq N - 1$, atunci graful este conectat.

O astfel de abordare este sub-optimală deoarece se fac presupuneri restrictive:

- se pre-calculează regiunile \mathcal{A}_ℓ ce descriu spațiul fezabil iar condiția de conectivitate în graf este una suficientă (nu necesară și suficientă)
- probleme vor apărea la dimensiuni mari ale echipei datorită conservatismului condiției de conectivitate și datorită numărului ridicat de variabile binare.

⁶R. J. Afonso și alții. „Task allocation and trajectory planning for multiple agents in the presence of obstacle and connectivity constraints with mixed-integer linear programming”. În: *International Journal of Robust and Nonlinear Control* 30.14 (2020), pag. 5464–5491.

- 1 Motivație
- 2 Caracterizări ale regiunilor “în umbră”
- 3 Reprezentări cu variabile întregi/mixte
- 4 Problema de acoperire
- 5 Problema de comunicație
- 6 Studiu de caz: o problemă MPC cu garanții “corner cutting”
 - Descrierea modelului
 - Comportament intra-interval pentru dinamica dublu integrator
 - Comparați între diverse strategii
 - Probleme de performanță și robustețe
- 7 Concluzii

Descrierea modelului

- dinamica continuă de tip "dublu integrator":

$$\dot{x}(t) = A_c x(t) + B_c u(t), \quad y(t) = C_c x(t),$$

cu starea $x(t)$ – compusă din poziție și viteză, comandă $u(t) \in \mathbb{R}^2$ – accelerația și ieșirea $y(t) \in \mathbb{R}^2$ – componenta de poziție a stării și

$$A_c = \begin{bmatrix} 0 & \mathbf{I} \\ 0 & 0 \end{bmatrix}, \quad B_c = \begin{bmatrix} 0 \\ \mathbf{I} \end{bmatrix}, \quad C_c = [\mathbf{I} \quad 0],$$

- pasul de eșantionare T dă dinamica discretă:

$$x_{k+1} = Ax_k + Bu_k, \quad y_k = Cx_k,$$

cu matricele A, B, C :

$$A = \begin{bmatrix} \mathbf{I} & T \cdot \mathbf{I} \\ 0 & \mathbf{I} \end{bmatrix}, \quad B = \begin{bmatrix} \frac{T^2}{2} \cdot \mathbf{I} \\ T \cdot \mathbf{I} \end{bmatrix}, \quad C = [\mathbf{I} \quad 0].$$

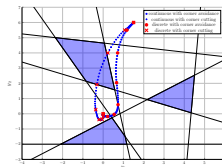
- problema MPC cu "corner cutting avoidance":

$$u^* = \arg \min_{u_k, \sigma_{k+1}, \dots, u_{k+N_p-1}, \sigma_{k+N_p}} \sum_{i=0}^{N_p-1} \|x_{k+i+1}\|_Q + \|u_k\|_R,$$

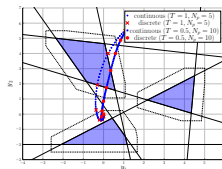
$$\text{s.t. } x_{k+i+1} = Ax_{k+i} + Bu_{k+i}, \quad y_{k+i} = Cx_{k+i},$$

Comportament intra-interval pentru dinamica dublu integrator

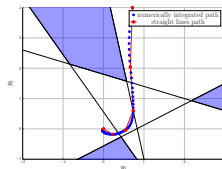
- traiectorii cu și fără tăierea colțurilor (cu $T = 1$, $N_p = 5$)



- scalare obstacole (pentru $T = 1$)



- aproximare prin linii drepte (pentru $T = 1$)



Comparați între diverse strategii

S1 evitare de obstacole, fără garanții "corner cutting avoidance"

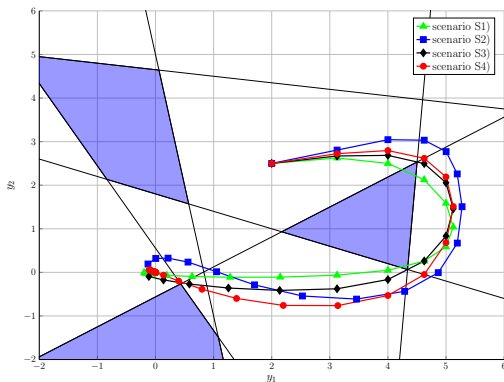
S2 evitarea de obstacole, cu scalare pentru a lua în calcul o regiune de siguranță $4 \cdot \frac{T^2}{2} u$

S3 evitare de obstacole cu garanții "corner cutting avoidance", cazul exact

S4 evitare de obstacole cu garanții "corner cutting avoidance", cazul aproximat

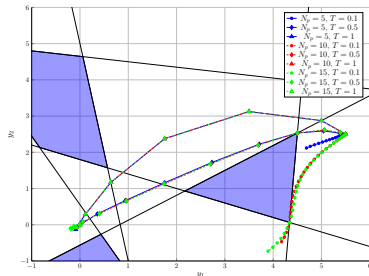
- timpii de simulare 0.0957, 0.6353, 11.7452 and 0.0232 respectively

- lungimea traiectoriei 10.0180, 11.5498, 10.1024 and 10.8133



Probleme de performanță și robustețe

- diverse lungimi ale orizontului de predicție ($N_p \in \{5, 10, 15\}$)
- multipli pași de eșantionare ($T \in \{0.1, 0.5, 1\}$)



- timpul de calcul (atât în medie, cât și extremele) crește odată cu lungimea orizontului de predicție
- un timp de eșantionare mai mare forțează un comportament mai grosier asupra agentului: trebuie să facă pași mai mari și să renunțe la o parte mai mare a domeniului fezabil (ducând astfel la calcule mai complexe)
- elementul definitoriu este timpul de eșantionare: traiectoriile aproape coincid pentru $T = 0.5$ și $T = 1$ și sunt similare pentru $T = 0.1$, indiferent de dimensiunea orizontului de predicție

- 1 Motivație
- 2 Caracterizări ale regiunilor “în umbră”
- 3 Reprezentări cu variabile întregi/mixte
- 4 Problema de acoperire
- 5 Problema de comunicație
- 6 Studiu de caz: o problemă MPC cu garanții “corner cutting”
- 7 Concluzii

Concluzii

- aranjamentele hiperplane oferă un instrument pentru descrierea eficientă a regiunilor neconvexe “în umbră”
- formulările cu variabile mixte apar în mod natural pentru acest tip de obiecte geometrice
- ca de obicei, trebuie să alegem între reprezentări exacte (dar dificil de implementat) și aproximări (de obicei mult mai eficiente, dar restricționate într-un sens sau altul)
- se aplică pentru problema conectivității, acoperirii spațiului și evitarea coliziunii cu garanții de “corner cutting avoidance”

Referințe

- [1] R. J. Afonso, M. R. Maximo și R. K. Galvão.
„Task allocation and trajectory planning for multiple agents in the presence of obstacle and connectivity constraints with mixed-integer linear programming”.
În: *International Journal of Robust and Nonlinear Control* 30.14 (2020),
pag. 5464–5491.
- [2] R. Deits și R. Tedrake.
„Efficient mixed-integer planning for UAVs in cluttered environments”.
În: *Proc. of IEEE Int. Conf. on Robotics and Automation*. 2015.
- [3] M. H. Maia și R. K. H. Galvão. „On the use of mixed-integer linear programming for predictive control with avoidance constraints”.
În: *Int. J. Robust Nonlinear Control* 19 (2009), pag. 822–828.
- [4] A. Richards și O. Turnbull. „Inter-sample avoidance in trajectory optimizers using mixed-integer linear programming”.
În: *Int. J. Robust Nonlinear Control* 25 (2015), pag. 521–526.
- [5] J. Vielma și G. Nemhauser. „Modeling disjunctive constraints with a logarithmic number of binary variables and constraints”.
În: *Mathematical Programming* 128.1 (2011), pag. 49–72.